

Emparelhamentos Generalizados Associados à Tesselação $\{12g - 6, 3\}$ ¹

M.B. FARIA², Departamento de Matemática, CCE, UFV, 36570-000 Viçosa, MG, Brasil.

R. PALAZZO Jr, Departamento de Telemática, FEEC, UNICAMP, 13083-852 Campinas, SP, Brasil.

Resumo. Neste trabalho apresentamos as generalizações do problema de emparelhamentos de arestas relativos aos Casos I e IV, incluídos na Fig. 2, onde mostramos que todos os ciclos de vértices dos correspondentes polígonos têm comprimento 3, ou seja, os emparelhamentos das arestas dos polígonos Φ'_{12g-6} e Φ''_{12g-6} tem todos os ciclos de vértices com comprimento 3 (Teoremas 3.1 e 3.1.1 da seção 3.). Além disso, como todos os ciclos de vértices têm comprimento 3 decorre que tais polígonos são domínios fundamentais da tesselação $\{12g - 6, 3\}$. Uma das motivações para o estudo de emparelhamentos das arestas de polígonos hiperbólicos com $12g - 6$ arestas associados à tesselação $\{12g - 6, 3\}$ é que tais tesselações fornecem empacotamentos esféricos com densidade máxima e, portanto, estão relacionadas com a construção de códigos ótimos cuja probabilidade de erro é mínima.

Palavras-chave. Emparelhamento de arestas de polígonos hiperbólicos, Códigos geometricamente uniforme, Empacotamento de esferas, Geometria hiperbólica.

1. Introdução

O problema de empacotamento de esferas tem como principal objetivo a busca pela maior densidade possível de empacotamento. Dentre os possíveis empacotamentos de esferas, destacamos os associados a reticulados, ou seja, aos conjuntos de esferas cujos centros fornecem um reticulado. Nestes casos, temos que a densidade de empacotamento é o volume da esfera dividido pelo volume do polígono que a contém.

Assim, quando consideramos um reticulado da forma $\{p, q\}$, temos um empacotamento de esferas associado. A busca por empacotamentos reticulados ótimos, no sentido da maior densidade possível, está ligada à busca de códigos ótimos, pois maior densidade de empacotamento implica em menor probabilidade de erro.

Em [10, p. 241], Toth apresentou o limitante superior máximo para a densidade de empacotamento no plano hiperbólico, sendo este igual a $\frac{3}{\pi}$. Em [2, Cáp. 4

¹Agradecemos ao CNPq pelo apoio financeiro, processo número 505258/2008-0, e à Universidade Federal de Viçosa pela licença para estágio pós-doutoral.

²mercio@gmail.com

Teorema 4.1.1] apresentamos estudos assintóticos para reticulados do tipo $\{p, q\}$. Demonstramos que assintoticamente³ a densidade de empacotamento não atinge o valor $\frac{3}{\pi}$. Porém, esta densidade é atingida por empacotamentos de horobolas $\{\infty, 3\}$.

A relevância de tais resultados para empacotamento de esferas, está no fato que um reticulado hiperbólico do tipo $\{12g - 6, 3\}$ fornece um empacotamento ótimo com relação a densidade de empacotamento no plano hiperbólico. Além disso, para $g \rightarrow \infty$ temos que as densidades, de empacotamento e de cobertura, do referido reticulado atingem o valor máximo apresentado por Toth. Daí, nosso interesse em explorar os emparelhamentos de arestas de polígonos, em particular os polígonos com $12g - 6$ arestas.

Neste trabalho apresentamos as generalizações que fizemos dos casos I e IV (seção 3.), incluídos na Fig. 2, onde mostramos que todos os seus ciclos de vértices têm comprimento 3 e, portanto, são domínios fundamentais da tesselação $\{12g - 6, 3\}$.

2. Emparelhamento de Arestas de um Polígono

Seja P um polígono e considere \mathcal{A} o conjunto de arestas de P . Um emparelhamento de arestas de P é definido da seguinte forma.

Definição 2.1. *Um emparelhamento de arestas de P é um conjunto $\Phi = \{T_\tau | \tau \in \mathcal{A}\}$ de isometrias que, para toda aresta $\tau \in \mathcal{A}$: 1) existe aresta $\tau' \in \mathcal{A}$ com $T_\tau(\tau') = \tau$; 2) as isometrias T_τ e $T_{\tau'}$ satisfazem a relação $T_{\tau'} = T_\tau^{-1}$; 3) se τ for aresta de P então $\tau' = P \cap T_\tau^{-1}(P)$.*

O emparelhamento Φ de um polígono P gera um grupo Γ . Com este grupo podemos obter superfícies de Riemann R de um dado gênero g através do quociente de \mathbb{E} por Γ , denotado por \mathbb{E}/Γ , onde \mathbb{E} pode ser o plano euclidiano, ou o plano elíptico, ou o plano hiperbólico. Se Γ é um grupo finitamente gerado do primeiro tipo⁴, podemos denotar a assinatura de Γ por $(g : k; m_1, m_2, \dots, m_k)$, onde g denota o gênero, k o número de elementos elípticos e/ou parabólicos. Caso Γ não tenha elementos parabólicos nem elípticos, então denotamos a assinatura de Γ por $(g : 0)$.

Seja um grupo finitamente gerado do primeiro tipo com assinatura $(g : 0)$. Então o número N de arestas do polígono emparelhadas pelas funções geradoras está entre $4g$ e $12g - 6$ [1].

Os emparelhamentos para polígonos com $4g$ arestas foram bem explorados na literatura [2, 6, 7, 9, 12]. A Figura 1, ilustra dois destes emparelhamentos.

Com relação aos emparelhamentos de arestas de polígonos com $12g - 6$ arestas que representam uma superfície de Riemann compacta, orientável de gênero g , para o caso do gênero ser dois ($g = 2$) sabemos que existem somente oito emparelhamentos, [7] (veja Fig. 2) (salvo conjugações por isometrias preservando orientação). Para os gêneros 3, 4 e 5 o número de possíveis emparelhamentos tem 5, 7 e 10 dígitos respectivamente, conforme observou Girondo e González-Diez em [8]. Em [3], um dos emparelhamentos foi generalizado para qualquer valor do gênero g .

³Assintoticidade no sentido de p e q tenderem a infinito, onde p e q determinam um ladrilhamento $\{p, q\}$.

⁴Dizemos que um grupo Γ é do primeiro tipo se o conjunto dos pontos de acumulação das órbitas $\Gamma(z)_{z \in \mathbb{D}^2}$ é igual à fronteira do disco de Poincaré $\partial\mathbb{D}^2$.

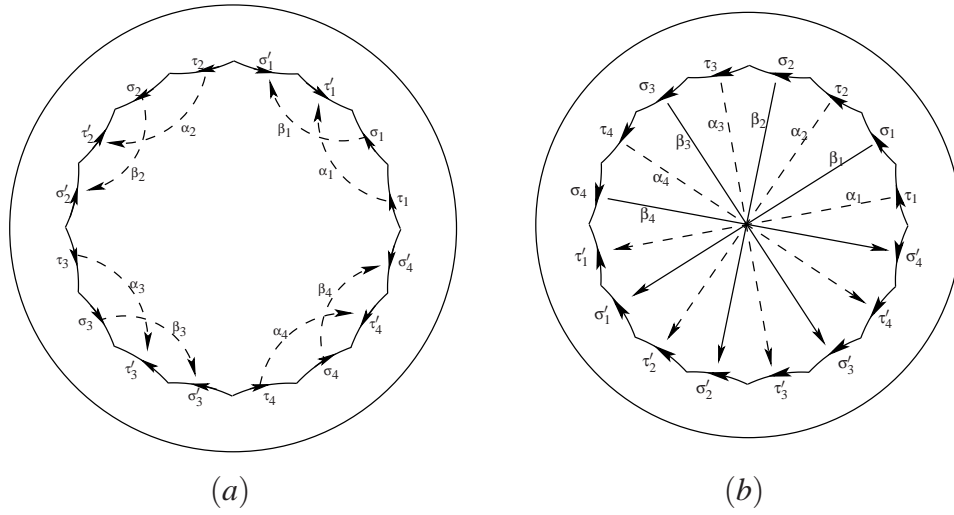


Figura 1: (a) Ilustração do emparelhamento para gênero $g = 4$
 (b) Emparelhamento para $g = 4$ com arestas diametralmente opostas

Na próxima seção apresentamos as generalizações dos casos I e IV, [4].

3. Emparelhamentos Generalizados Φ_{12g-6}^I e Φ_{12g-6}^{IV}

Considere um polígono $P_{12g-6} \subset \mathbb{D}^2$ com $12g - 6$ arestas, $g \geq 2$, onde \mathbb{D}^2 representa o plano hiperbólico. Denotamos seus vértices no sentido anti-horário por $\{v_1, v_2, \dots, v_{12g-6}\}$ e suas arestas por $\{\tau_1, \tau_2, \dots, \tau_{12g-6}\}$ onde τ_i é o segmento geodésico iniciando em v_i e findando em v_{i+1} , $i \bmod (12g - 6)$. Denotando os vértices inicial e final de uma aresta τ por $I(\tau)$ e $F(\tau)$, temos pela construção do polígono que $I(\tau_i) = v_i$ e $F(\tau_i) = v_{i+1}$.

Se o gênero g for igual a 2 temos um polígono com 18 arestas, P_{18} . O caso I apresentado em [7] fornece um emparelhamento que representa uma superfície de Riemann compacta, orientável de gênero 2 e é dado pelos pares de arestas, emparelhadas da seguinte forma:

$$\left[\begin{array}{l} \{\tau_1, \tau_{10}\}, \{\tau_2, \tau_5\}, \{\tau_3, \tau_7\}, \{\tau_4, \tau_8\}, \{\tau_6, \tau_9\} \\ \{\tau_{11}, \tau_{14}\}, \{\tau_{15}, \tau_{18}\}, \{\tau_{12}, \tau_{16}\}, \{\tau_{13}, \tau_{17}\} \end{array} \right]. \quad (3.1)$$

Nesta seção, exibimos a generalização do emparelhamento correspondente ao caso I que é descrita por:

- Dado o polígono P_{12g-6} descrito acima, assumimos, para permitir emparelhamento de arestas por isometrias, que os seguintes pares de arestas possuem o mesmo comprimento:

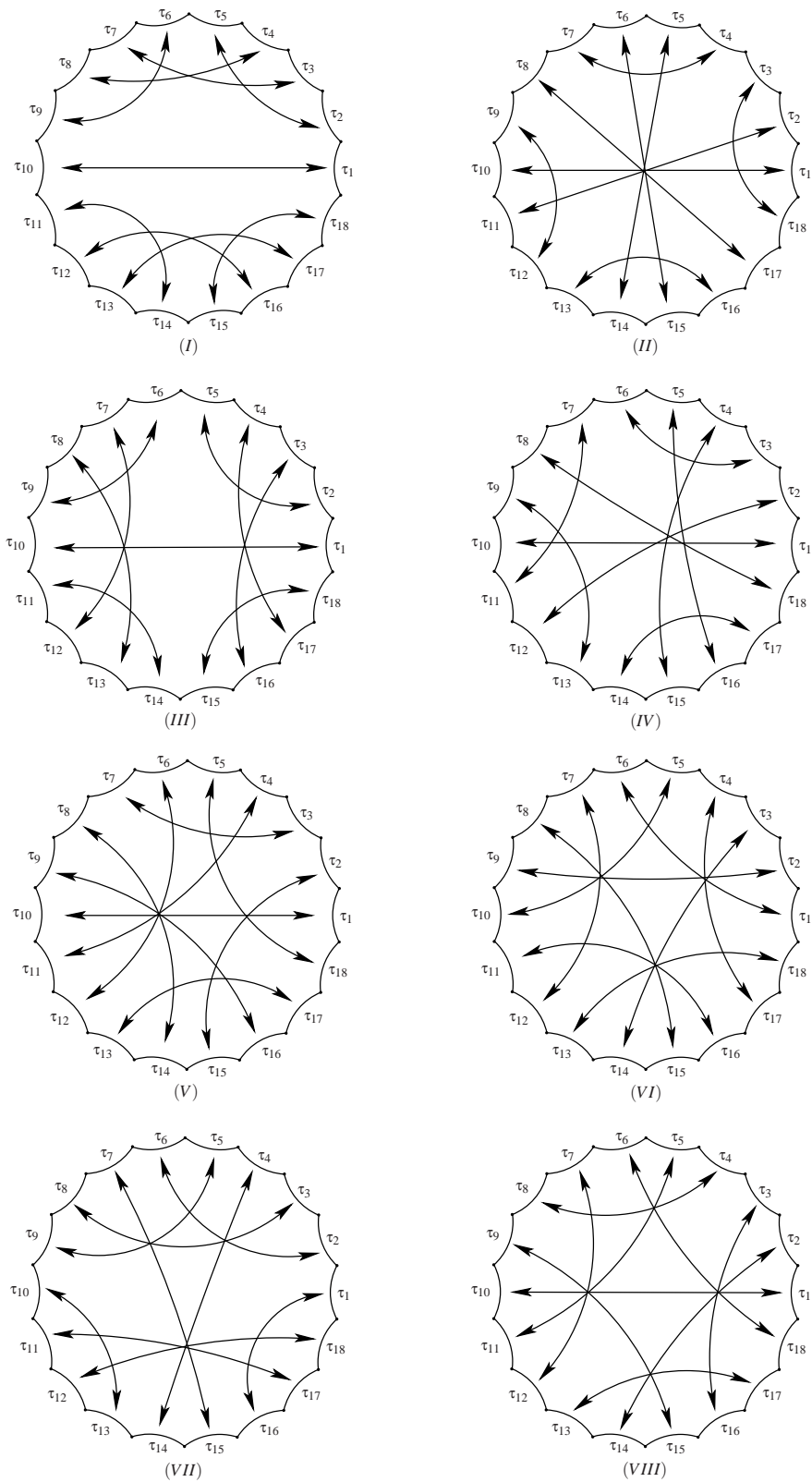


Figura 2: Os oito tipos de emparelhamento, de polígonos com 18 arestas, existentes para gênero $g = 2$. Figura reproduzida da página 267 em [7].

$$\begin{aligned} & \{\tau_1, \tau_{10}\}; \{\tau_2, \tau_5\}; \{\tau_6, \tau_9\}; \{\tau_3, \tau_7\}; \{\tau_4, \tau_8\}; \\ & \{\tau_{11+10k}, \tau_{14+10k}\}; \{\tau_{15+10k}, \tau_{12g-6-2k}\}; \{\tau_{16+10k}, \tau_{19+10k}\}; \{\tau_{20+10k}, \tau_{12g-7-2k}\}; \\ & \{\tau_{12+10k}, \tau_{17+10k}\}; \{\tau_{13+10k}, \tau_{18+10k}\}; \quad \text{se } 0 \leq k \leq g-3. \\ & \{\tau_{10g-9}, \tau_{10g-6}\}; \{\tau_{10g-5}, \tau_{10g-2}\}; \{\tau_{10g-8}, \tau_{10g-4}\}; \{\tau_{10g-7}, \tau_{10g-3}\} \end{aligned}$$

Considere as isometrias hiperbólicas (únicas) que identificam os pares conforme segue:

$$\begin{aligned} \alpha_1(\tau_1) &= \tau_{10}; \quad \alpha_2(\tau_2) = \tau_5; \quad \alpha_3(\tau_6) = \tau_9; \\ \alpha_4(\tau_3) &= \tau_7; \quad \alpha_5(\tau_4) = \tau_8; \\ \beta_{1+6k}(\tau_{11+10k}) &= \tau_{14+10k}; \quad \beta_{2+6k}(\tau_{15+10k}) = \tau_{12g-6-2k}; \quad \beta_{3+6k}(\tau_{16+10k}) = \tau_{19+10k}; \\ \beta_{4+6k}(\tau_{20+10k}) &= \tau_{12g-7-2k}; \quad \beta_{5+6k}(\tau_{12+10k}) = \tau_{17+10k}; \quad \beta_{6+6k}(\tau_{13+10k}) = \tau_{18+10k}; \\ \alpha_6(\tau_{10g-9}) &= \tau_{10g-6}; \quad \alpha_7(\tau_{10g-5}) = \tau_{10g-2}; \quad \alpha_8(\tau_{10g-8}) = \tau_{10g-4}; \quad \alpha_9(\tau_{10g-7}) = \tau_{10g-3} \\ & \text{se } 0 \leq k \leq g-3. \end{aligned}$$

Dizemos que o conjunto

$$\Phi'_{12g-6} = \{\alpha_j, \beta_{1+6k}, \beta_{2+6k}, \beta_{3+6k}, \beta_{4+6k}, \beta_{5+6k}, \beta_{6+6k}; k = 0, 1, 2, \dots, g-3 \quad e \quad j = 1, 2, \dots, 9\}$$

é um emparelhamento para o polígono P_{12g-6} . Particularmente, se tomarmos $g = 2$ teremos o emparelhamento apresentado em (3.1).

3.1. O emparelhamento Φ'_{12g-6}

Esta subsecção contém resultados que nos permitem conhecer um pouco mais sobre o emparelhamento Φ'_{12g-6} . Neste sentido, apresentamos um resultado que estabelece que todo ciclo⁵ de vértices tem comprimento três. Antes, seja $\varphi \in \Phi'_{12g-6}$ e suponha que $\varphi(\tau_i) = \tau_j$. Então temos que φ satisfaz

$$\varphi(I(\tau_i)) = F(\varphi(\tau_i)) = F(\tau_j) \quad e \quad \varphi(F(\tau_i)) = I(\varphi(\tau_i)) = I(\tau_j).$$

Em outras palavras, como $I(\tau_l) = v_l$ e $F(\tau_l) = v_{l+1}$, disso decorre que $\varphi(v_i) = v_{j+1}$ e $\varphi(v_{i+1}) = v_j$.

Teorema 3.1. *Seja Φ'_{12g-6} um emparelhamento do polígono P_{12g-6} . Então todos os ciclos de vértices têm comprimento 3 conforme verificamos a seguir:*

$$\begin{aligned} & \{v_2, v_6, v_{10}\}; \{v_3, v_5, v_8\}; \{v_4, v_7, v_9\}; \\ & \{v_{11+5k}, v_{15+5k}, v_{1-k}\}; \quad k = 0, 1, \dots, 2g-5 \\ & \{v_{12+10k}, v_{14+10k}, v_{18+10k}\}; \{v_{13+10k}, v_{17+10k}, v_{19+10k}\}; \quad k = 0, 1, \dots, g-3 \\ & \{v_{10g-9}, v_{10g-5}, v_{-2g+5}\}; \{v_{10g-8}, v_{10g-6}, v_{10g-3}\}; \{v_{10g-7}, v_{10g-4}, v_{10g-2}\} \end{aligned}$$

⁵Seja $\Gamma_{12g-6} = \langle \Phi_{12g-6} \rangle$. Um ciclo é uma classe de equivalência de vértices congruentes, ou seja, é um conjunto da forma

$$\{T(z) | T \in \Gamma_{12g-6} \text{ e } z \text{ e } T(z) \text{ são vértices de } P_{12g-6}\}.$$

Demonstração. Iniciamos obtendo o ciclo que contém o vértice v_2 . Note que

$$v_2 = F(\tau_1) = I(\tau_2).$$

Pela definição das funções de emparelhamento, temos que τ_2 é emparelhada à aresta τ_5 através da transformação α_2 . Segue então que

$$\alpha_2(v_2) = \alpha_2(I(\tau_2)) = F(\alpha_2(\tau_2)) = F(\tau_5) = v_6,$$

de modo que v_6 pertence ao ciclo determinado por v_2 . Mas, além de ser o vértice final de τ_5 , temos que v_6 é o vértice inicial de τ_6 e como τ_6 é emparelhado a τ_9 por α_3 , obtemos

$$\alpha_3(v_6) = \alpha_3(I(\tau_6)) = F(\alpha_3(\tau_6)) = F(\tau_9) = v_{10},$$

de modo que v_{10} pertence ao ciclo determinado por v_2 e v_6 . Novamente, temos que $v_{10} = I(\tau_{10})$ e τ_{10} é emparelhada a τ_2 através da isometria α_1^{-1} . Segue que

$$\alpha_1^{-1}(v_{10}) = \alpha_1^{-1}(I(\tau_{10})) = F(\alpha_1^{-1}(\tau_{10})) = F(\tau_1) = v_2,$$

completando um ciclo. Assim, o ciclo determinado por v_2 é

$$\{v_2, v_6, v_{10}\}. \quad (3.2)$$

Seguindo este raciocínio, temos os demais $4g - 3$ ciclos. \square

Seja Γ_{12g-6}^I o grupo gerado pelo emparelhamento Φ_{12g-6}^I associado ao polígono P_{12g-6} . A partir do Teorema 3.1 concluímos que o número de ciclos de vértices é $4g - 2$.

Desse modo, concluímos que o quociente de \mathbb{H}^2 pelo grupo gerado pelo emparelhamento Φ_{12g-6}^I , isto é, Γ_{12g-6}^I , denotado por $\mathbb{H}^2/\Gamma_{12g-6}^I$, nos fornece uma superfície de Riemann compacta orientável de gênero g .

Corolário 3.1.1. *Se a soma dos ângulos em cada ciclo é 2π , então Γ_{12g-6}^I é um grupo propriamente descontínuo, isomorfo ao grupo fundamental $\pi_1(R_g)$, e $\mathbb{D}^2/\Gamma_{12g-6}^I$ é difeomorfo à superfície de Riemann R_g .*

Demonstração. Assumindo que a soma dos ângulos em cada ciclo é 2π e sendo as arestas emparelhadas de mesmo comprimento concluímos, pelo teorema de Poincaré, que Γ_{12g-6}^I é discreto. Como $\Gamma_{12g-6}^I \subset \mathrm{PSL}(2, \mathbb{R})$ temos um grupo propriamente descontínuo⁶. Além disso, pelo Teorema de Poincaré, segue que o polígono é domínio fundamental do grupo gerado pelas funções de emparelhamento, de modo que o quociente $\mathbb{D}^2/\Gamma_{12g-6}^I$ é difeomorfo a uma superfície de Riemann, R_g , compacta orientável de gênero g e $\pi_1(R_g)$ é isomorfo a Γ_{12g-6}^I . \square

⁶Um subgrupo $\Gamma \subset \mathrm{PSL}_2(\mathbb{R})$ é discreto se, e somente se, sua ação em \mathbb{H}^2 for propriamente descontínua, [1] e [6].

Resta apenas determinar seu gênero, que pode ser obtido através da característica de Euler-Poincaré. Do Teorema 3.1 temos que o número de ciclos de vértices é $4g - 2$. Sendo $6g - 3$ o número de arestas identificadas, concluímos que o emparelhamento Φ'_{12g-6} representa uma superfície de Riemann compacta orientável de gênero g pois a característica de Euler-Poincaré é dada por

$$\chi(P_{12g-6}) = 1 - (6g - 3) + (4g - 2) = 2 - 2g.$$

3.2. Emparelhamento generalizado Φ_{12g-6}^{IV}

O caso IV apresentado em [7] também fornece um emparelhamento que representa uma superfície de Riemann compacta, orientável de gênero 2 e é dado pelos pares de arestas, emparelhadas da seguinte forma:

$$\left[\begin{array}{l} \{\tau_1, \tau_{10}\}, \{\tau_2, \tau_{12}\}, \{\tau_3, \tau_6\}, \{\tau_4, \tau_{15}\}, \{\tau_5, \tau_{16}\} \\ \{\tau_7, \tau_{11}\}, \{\tau_8, \tau_{18}\}, \{\tau_9, \tau_{13}\}, \{\tau_{14}, \tau_{17}\} \end{array} \right]. \quad (3.3)$$

Se consideramos que os seguintes pares de arestas possuem o mesmo comprimento:

- $\{\tau_3, \tau_6\}; \{\tau_4, \tau_{8g-1}\}; \{\tau_5, \tau_{8g}\};$
 $\{\tau_{7+8k}, \tau_{11+8k}\}; \{\tau_{8+8k}, \tau_{12g-6-4k}\}; \{\tau_{9+8k}, \tau_{13+8k}\};$
 $\{\tau_{10+8k}, \tau_{1-4k}\}; \{\tau_{12+8k}, \tau_{2-4k}\}; \{\tau_{14+8k}, \tau_{12g-7-4k}\}$
 se $0 \leq k \leq g - 2$,

e que as isometrias hiperbólicas (únicas) identificam os pares conforme segue:

$$\begin{aligned} \delta_1(\tau_3) &= \tau_6; \quad \delta_2(\tau_4) = \tau_{8g-1}; \quad \delta_3(\tau_5) = \tau_{8g}; \\ \xi_{1+6k}(\tau_{7+8k}) &= \tau_{11+8k}; \quad \xi_{2+6k}(\tau_{8+8k}) = \tau_{12g-6-4k}; \quad \xi_{3+6k}(\tau_{9+8k}) = \tau_{13+8k}; \\ \xi_{4+6k}(\tau_{10+8k}) &= \tau_{1-4k}; \quad \xi_{5+6k}(\tau_{12+8k}) = \tau_{2-4k}; \quad \xi_{6+6k}(\tau_{14+8k}) = \tau_{12g-7-4k}; \\ &\text{se } 0 \leq k \leq g - 2, \end{aligned}$$

temos que o conjunto

$$\Phi_{12g-6}^{IV} = \{\delta_j, \xi_{1+6k}, \xi_{2+6k}, \xi_{3+6k}, \xi_{4+6k}, \xi_{5+6k}, \xi_{6+6k}; k = 0, 1, 2, \dots, g - 2 \text{ e } j = 1, 2, 3\}$$

é um emparelhamento para o polígono P_{12g-6} . Particularmente, se tomarmos $g = 2$ teremos o emparelhamento apresentado em (3.3).

Os resultados apresentados a seguir para o emparelhamento Φ_{12g-6}^{IV} podem ser demonstrados de maneira análoga ao feito para o caso Φ'_{12g-6} .

Teorema 3.2. *Seja Φ_{12g-6}^{IV} um emparelhamento do polígono P_{12g-6} . Então todos os ciclos de vértices têm comprimento 3 e são da seguinte forma:*

$$\begin{aligned} &\{v_4, v_6, v_{8g}\}; \{v_5, v_{8g-1}, v_{8g+1}\}; \\ &\{v_{7+8k}, v_{12+8k}, v_{3-4k}\}; \{v_{8+8k}, v_{11+8k}, v_{1-4k}\}; \{v_{9+8k}, v_{14+8k}, v_{12g-6-4k}\}; \\ &\{v_{10+8k}, v_{13+8k}, v_{2-4k}\}; \quad k = 0, 1, \dots, g - 2 \end{aligned}$$

Seja Γ_{12g-6}^{IV} o grupo gerado pelo emparelhamento Φ_{12g-6}^{IV} associado ao polígono P_{12g-6} .

Corolário 3.2.2. *Se a soma dos ângulos em cada ciclo é 2π , então Γ_{12g-6}^{IV} é grupo propriamente descontínuo, isomorfo ao grupo fundamental $\pi_1(R_g)$, e $\mathbb{D}^2/\Gamma_{12g-6}^{IV}$ é difeomorfo à superfície de Riemann R_g .*

Analogamente se conclui também que

$$\chi(P_{12g-6}) = 1 - (6g - 3) + (4g - 2) = 2 - 2g.$$

4. Conclusões

Os emparelhamentos generalizados que apresentamos neste trabalho estão associados a polígonos que são domínios fundamentais de tesselações do tipo $\{12g - 6, 3\}$. Estas tesselações por sua vez, fornecem empacotamentos de esferas com a máxima densidade, ou seja, empacotamentos ótimos. Além disso, a busca por outros emparelhamentos relacionados a esta tesselação auxiliará na determinação de grupos fuchsianos aritméticos relacionados a $\{12g - 6, 3\}$ (veja [11]).

Além disso, os casos III e VI foram resolvidos e podem ser encontrados em [5].

Abstract. In this paper we generalize the edge-pairings problem regarding the Cases I and IV, see Fig. 2, where we show that all the cycles of vertices of the corresponding polygons have length 3, that is, the edge-pairings of the polygons Φ'_{12g-6} and Φ^{IV}_{12g-6} have all the cycles of vertices with length 3 (Theorems 3.1 and 3.1.1 of Section 3.). Furthermore, since all the cycles of vertices have length 3 it follows that the polygons are the fundamental domains of the tessellation $\{12g - 6, 3\}$. One of the motivations to study the edge-pairings of regular hyperbolic polygons with $12g - 6$ edges associated with the tessellation $\{12g - 6, 3\}$ is that such tessellations lead to sphere packings with maximum density and so are related to the construction of optimum codes whose error probability is minimum.

Keywords. Edge-pairings of hyperbolic polygons, Geometrically uniform codes, Sphere packings, Hyperbolic geometry.

Referências

- [1] A. Beardon, “The Geometry of Discrete Groups”, Springer Verlag, 1983.
- [2] M. B. Faria, “Empacotamento de Esferas em Espaços Hiperbólicos”, Dissertação de Mestrado, Imecc, Universidade Estadual de Campinas, 2001.
- [3] M.B. Faria, “Coordenadas Fricke e Empacotamentos Hiperbólicos de Discos”, Tese de Doutorado, Imecc, Universidade Estadual de Campinas, 2005.
- [4] M.B. Faria, R. Palazzo Jr, “Dois casos de emparelhamentos generalizados associados a tesselação $\{12g - 6, 3\}$ ”, Anais do XXXII Congresso Nacional de Matemática Aplicada e Computacional, Cuiabá, MT, **2** (2009), 342–348.

- [5] M.B. Faria, R. Palazzo Jr, “Emparelhamentos generalizados casos III e VI associados a tesselação $\{12g - 6, 3\}$ ”, Anais do XXVII Simpósio Brasileiro de Telecomunicações, SBrT 2009, Blumenau, SC, 2009.
- [6] P.A. Firby, C.F. Gardiner, “Surface Topology”, Ellis Horwood Limited, New York, 1991.
- [7] R. Fricke, F. Klein, “Vorlesugen über die Theorie der Automorphen Funktionen”, Teubener, Leipzig, 1897.
- [8] E. Girono, G. González-Diez, “Genus two extremal surfaces: extremal discs, isometries and Weierstrass points”, *Israel Journal of Mathematics*, **132** (2002), 221–238.
- [9] L.C. Kinsey, “Topology of Surfaces”, Springer-Verlag, New York, 1993.
- [10] L.F. Tóth, “Regular Figures”, International series of monographs on Pure and Applied Mathematics, Pergamon press LTDA, Oxford, vol. 48, 1964.
- [11] V.L. Vieira, “Grupos Fuchsianos Aritméticos Identificados em Ordens dos Quaternários para Construção de Constelações de Sinais”, Tese de Doutorado em Engenharia Elétrica, Universidade Estadual de Campinas, 2007.
- [12] J.R. Weeks, “The Shape of Space”, Marcel Dekker, New York, 1985.